

Math-Net.Ru

Общероссийский математический портал

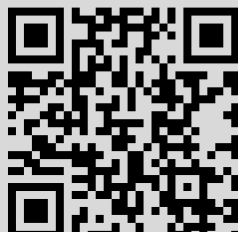
В. Б. Балакин, О методах типа Рунге-Кутта для газовой динамики, *Ж. вычисл. матем. и матем. физ.*, 1970, том 10, номер 6, 1512–1519

Использование Общероссийского математического портала Math-Net.Ru подразумевает, что вы прочитали и согласны с пользовательским соглашением
<http://www.mathnet.ru/rus/agreement>

Параметры загрузки:

IP: 213.87.133.246

12 октября 2023 г., 13:35:45



ЖУРНАЛ
ВЫЧИСЛИТЕЛЬНОЙ МАТЕМАТИКИ и МАТЕМАТИЧЕСКОЙ ФИЗИКИ

Том 10

Ноябрь 1970 Декабрь

№ 6

УДК 518 : 547.9 : 533.7

О МЕТОДАХ ТИПА РУНГЕ-КУТТА ДЛЯ ГАЗОВОЙ ДИНАМИКИ

В. Б. БАЛАКИН

(Москва)

§ 1. Вводные замечания

Применяемые в настоящее время разностные методы сквозного счета первого и второго порядка точности обеспечивают расчет полей давления, скорости и температуры с точностью, измеряемой в типичных условиях единицами процентов. Увеличение емкости памяти и повышение быстродействия современных вычислительных машин позволяют выдвинуть проблему разработки и внедрения усложненных методов повышенной точности, приближающейся к достигнутой для обыкновенных дифференциальных уравнений.

Разработка таких методов может основываться на идеях широко распространенного метода Рунге-Кутта. Пример реализации метода Рунге-Кутта для нелинейных гиперболических систем принадлежит В. В. Русанову, предложившему пятиточечную схему третьего порядка точности [1].

Цель данной работы заключается в том, чтобы указать единую методику построения максимально точных методов типа Рунге-Кутта произвольного порядка и предложить новые разностные схемы третьего и четвертого порядка точности.

§ 2. Основные уравнения

Вывод разностных схем производится применительно к системе уравнений газовой динамики, представленной в векторной форме

$$\frac{\partial f}{\partial t} + \frac{\partial}{\partial x} F(f) = 0, \quad (1)$$

где

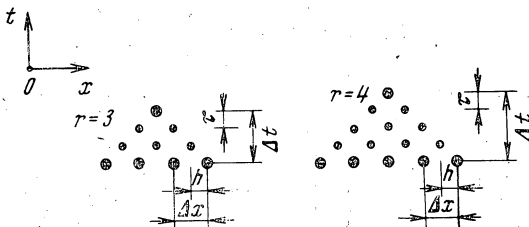
$$f = \begin{vmatrix} \rho \\ \rho u \\ e \end{vmatrix}, \quad F = \begin{vmatrix} \rho u \\ \rho u^2 + p \\ (e + p) u \end{vmatrix}.$$

Обозначения газодинамических функций стандартные. Система (1) замыкается алгебраическим уравнением для удельной энергии, которое в случае совершенного газа имеет вид

$$= \frac{\rho u^3}{2} + \frac{p}{\gamma - 1}. \quad (2)$$

§ 3. Общая разностная схема

Известно, что решение обыкновенного дифференциального уравнения по методу Рунге-Кутта находится в результате вычислительного процесса типа «счет — пересчет». Значение производной от решения, используемое



Фиг. 1

в этом процессе для выполнения очередного шага вдоль траектории, находится как средневзвешенное от значений в нескольких пробных точках поля направлений. Основываясь на этом принципе, будем определять решение системы (1) на шаге в результате последовательных уточнений по схеме

$$\{f_k^n\} = f^{[0]} \rightarrow f^{[1]} \rightarrow \dots \rightarrow f^{[r]} = \{f^{n+1}\}.$$

Как принято в методе Рунге-Кутта, для расчета каждого промежуточного значения $f^{[i]}$ будем использовать $f^{[0]}, f^{[1]}, \dots, f^{[i-1]}$.

Введем в плоскости (x, t) разностную сетку с шагами Δx и Δt . При нечетном r примем шахматное расположение узлов, при котором любые два соседних слоя сдвинуты один относительно другого на $\Delta x / 2$. При четном r будем пользоваться обычной прямоугольной сеткой. Наряду с основной разностной сеткой введем вспомогательную, поместив $r - 1$ дополнительный слой с шахматным расположением узлов между каждыми двумя слоями основной сетки (фиг. 1). Будем пользоваться как целыми, так и полуцелыми значениями пространственного индекса k , обозначая значения функций в узлах основной сетки f_k^n , а в узлах вспомогательной сетки $f_k^{[i]}$, $i = 1, 2, \dots, r - 1$. Введем обозначения для операторов осреднения, взятия разности и тождественного оператора:

$$\mu f_k = \frac{1}{2}(f_{k-\frac{1}{2}} + f_{k+\frac{1}{2}}), \quad \delta f_k = f_{k+\frac{1}{2}} - f_{k-\frac{1}{2}}, \quad If_k = f_k.$$

Наряду с операторами μ , δ , I будем использовать производные от них операторы $\delta^2, \delta^3, \delta^4, \dots, \mu\delta, \mu\delta^2, \mu\delta^3, \dots$

Запишем формулы общей схемы r -го порядка точности в следующей итерационной форме:

$$\begin{aligned} f_k^{[0]} &= f_k^n, \\ f_k^{[i]} &= a_{i,i-1}^{(1)} \mu f_k^{[i-1]} + \frac{\tau}{h} \beta_{i,i-1}^{(1)} \delta F_k^{[i-1]} + (a_{i,i-2}^{(1)} I + a_{i,i-2}^{(2)} \delta^2) f_k^{[i-2]} + \frac{\tau}{h} \beta_{i,i-2}^{(1)} \mu \delta F_k^{[i-2]} + \\ &+ (a_{i,i-3}^{(1)} \mu + a_{i,i-3}^{(2)} \mu \delta^2) f_k^{[i-3]} + \frac{\tau}{h} (\beta_{i,i-3}^{(1)} \delta + \beta_{i,i-3}^{(2)} \delta^3) F_k^{[i-3]} + \end{aligned} \quad (3)$$

$$\begin{aligned}
 & + (a_{i,i-4}^{(1)} I + a_{i,i-4}^{(2)} \delta^2 + a_{i,i-4}^{(3)} \delta^4) f_k^{[i-4]} + \frac{\tau}{h} (\beta_{i,i-4}^{(1)} \mu \delta + \beta_{i,i-4}^{(2)} \mu \delta^3) F_k^{[i-4]} + \dots \\
 & \dots + (a_{i,0}^{(1)} \dots) f_k^{[0]} + \frac{\tau}{h} (\beta_{i,0}^{(1)} \dots) F_k^{[0]}, \quad i = 1, 2, \dots, r, \\
 f_k^{[r]} & = f_k^{n+1}.
 \end{aligned}$$

Здесь

$$f_k^{[i]} = f(k\Delta x, n\Delta t + \varepsilon_i \tau), \quad F_k^{[i]} = F(f_k^{[i]}), \quad \tau = \Delta t/r, \quad h = \Delta x/2.$$

Неизвестные коэффициенты общей формулы (3) $a_{i,i-j}^{(v)}, \beta_{i,i-j}^{(v)}, \varepsilon_i$ необходимо выбирать таким образом, чтобы разложение $f_k^{[r]}$ по степеням Δt совпадало с разложением $f(k\Delta x, (n+1)\Delta t)$ до членов порядка Δt^r включительно.

Составление разложений и вычисление коэффициентов схем представляет собой чрезвычайно трудоемкую техническую задачу вследствие нелинейного характера зависимости $F(f)$. Приведем здесь окончательные результаты, опустив громоздкие промежуточные выкладки.

§ 4. Разностные аналоги методов Эйлера и метода Рунге-Кутта четвертого порядка

Известные трехточечные схемы второго порядка точности оказываются частными случаями предложенной общей схемы (3) при $r=2$. Так, для двухшагового варианта схемы Лакса — Вендроффа [2]

$$\begin{aligned}
 \varepsilon_1 = 1, \quad a_{1,0}^{(1)} = 1, \quad \beta_{1,0}^{(1)} = -1/2, \quad \beta_{2,1}^{(1)} = -1, \quad a_{2,0}^{(1)} = 1, \\
 a_{2,1}^{(1)} = a_{2,0}^{(2)} = \beta_{2,0}^{(1)} = 0.
 \end{aligned}$$

Сама схема может быть представлена в виде

$$f_{k+1/2}^{[1]} = 1/2 (f_k^{[0]} + f_{k+1}^{[0]}) - \frac{\Delta t}{2\Delta x} (F_{k+1}^{[0]} - F_k^{[0]}), \quad f_k^{[2]} = f_k^{[0]} - \frac{\Delta t}{\Delta x} (F_{k+1/2}^{[1]} - F_{k-1/2}^{[1]}). \quad (4)$$

Эта схема может рассматриваться как аналог модифицированного метода ломаных Эйлера. Аналогия становится совершенно отчетливой, если уравнения (4) записать в форме, принятой для методов типа Рунге-Кутта:

$$f_k^{n+1} = f_k^n - \Delta t P_2, \quad (5)$$

где

$$P_1 = \frac{1}{\Delta x} (F_{k+1}^{[0]} - F_k^{[0]}), \quad P_2 = \frac{1}{\Delta x} (F_{k+1/2}^{[1]} - F_{k-1/2}^{[1]}).$$

Разностную схему leap frog («скакующая лягушка») из [3] можно считать аналогом метода Эйлера с пересчетом. Эта схема описывается уравнениями

$$\begin{aligned}
 f_{k+1/2}^{[1]} & = 1/2 (f_k^{[0]} + f_{k+1}^{[0]}) - \frac{\Delta t}{\Delta x} (F_{k+1}^{[0]} - F_k^{[0]}), \\
 f_k^{[2]} & = f_k^{[0]} - \frac{\Delta t}{2\Delta x} (F_{k+1}^{[0]} - F_{k-1}^{[0]}) - \frac{\Delta t}{\Delta x} (F_{k+1/2}^{[1]} - F_{k-1/2}^{[1]}).
 \end{aligned} \quad (6)$$

или, что то же самое, уравнениями

$$\begin{aligned} f_k^{n+1} &= f_k^n - \frac{\Delta t}{2} (P_1 + P_2), \quad P_1 = \frac{1}{2\Delta x} (F_{k+1}^{[0]} - F_{k-1}^{[0]}), \\ P_2 &= \frac{1}{\Delta x} (F_{k+1/2}^{[1]} - F_{k-1/2}^{[1]}). \end{aligned} \quad (7)$$

Продолжая эти аналогии, естественно попытаться найти разностный метод для газовой динамики, похожий на метод Рунге-Кутта 4-го порядка точности для обыкновенных дифференциальных уравнений. Такой метод получен в виде

$$f_k^{n+1} = f_k^n - \frac{\Delta t}{6} (P_1 + 2P_2 + 2P_3 + P_4), \quad (8)$$

где

$$\begin{aligned} P_1 &= \frac{1}{2\Delta x} (F_{k+1}^{[0]} - F_{k-1}^{[0]}), \quad P_2 = \frac{1}{\Delta x} (F_{k+1/2}^{[1]} - F_{k-1/2}^{[1]}), \\ P_3 &= \frac{1}{2\Delta x} (F_{k+1}^{[2]} - F_{k-1}^{[2]}), \quad P_4 = \frac{1}{\Delta x} (F_{k+3/2}^{[3]} - F_{k-1/2}^{[3]}), \end{aligned}$$

где, в свою очередь, $f_{k+1/2}^{[1]}$ и $f_k^{[2]}$ определяются формулами (6), а

$$\begin{aligned} f_{k+3/2}^{[3]} &= (f_k^{[2]} + f_{k+1}^{[2]}) - (f_{k-1/2}^{[1]} + f_{k+3/2}^{[1]}) + \frac{1}{2} (f_k^{[0]} + f_{k+1}^{[0]}) - \\ &- 2 \frac{\Delta t}{\Delta x} (F_{k+1}^{[2]} - F_k^{[2]}) + \frac{1}{2} \frac{\Delta t}{\Delta x} (F_{k+3/2}^{[3]} - F_{k-1/2}^{[3]}). \end{aligned} \quad (9)$$

§ 5. Методы типа Рунге-Кутта на однородных сетках

Как и в случае обыкновенных дифференциальных уравнений, система уравнений для коэффициентов общей схемы (3) оказывается неопределенной и при любом $r > 1$ возникает обилие различных конкретных схем. Выделим из всего многообразия методов типа Рунге-Кутта класс методов, отвечающих следующим требованиям:

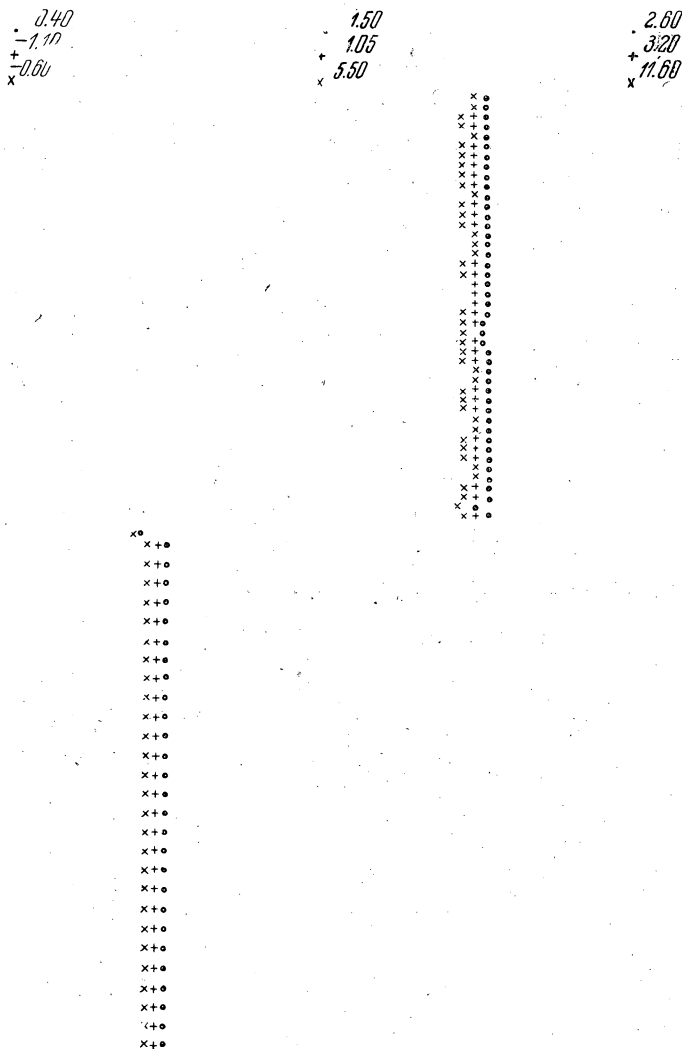
- 1) слои вспомогательной сетки должны быть равноотстоящими (тогда $\varepsilon_i = i$),
- 2) значения вектора $f_k^{[i]}$ должны аппроксимировать решение системы (1),
- 3) при переходе от i -го промежуточного слоя к $(i+1)$ -му порядок точности аппроксимации должен повышаться на единицу.

Первое требование направлено на обеспечение геометрической однородности вспомогательной разностной сетки. Схемы типа Рунге-Кутта на однородных сетках можно использовать как обычные многослойные схемы. Второе требование означает, что промежуточные значения должны иметь физический смысл, их можно выводить на печать, обрабатывать и т. п. Третье требование обеспечивает иерархию при конструировании методов: возрастающей точности: схема низкого порядка является элементом схемы более высокого порядка.

При $r = 2$ существует однопараметрическое семейство схем, удовлетворяющих сформулированным требованиям. Это семейство описывается разностными уравнениями с параметром ω :

$$\begin{aligned} f_{k+\frac{1}{2}}^{[1]} &= \mu f_{k+\frac{1}{2}}^{[0]} - \frac{\tau}{2h} \delta F_{k+\frac{1}{2}}^{[0]}, \\ f_k^{[2]} &= 4\omega\mu f_k^{[1]} - \frac{\tau}{h} \delta F_k^{[1]} + [(1 - 4\omega)I - \omega\delta^2] f_k^{[0]} + \frac{\tau}{h} 2\omega\mu\delta F_k^{[0]}, \end{aligned} \quad (10)$$

При $\omega = 0$ из (10) как частный случай получается метод (4).



Фиг. 2. Ударная волна, $n = 50$; сверху: · — 2.111, + — 2.466,
× — 8.611; снизу: · — 1.000, + — 0.000, × — 2.500

Все схемы семейства (10) при линеаризации переходят в явную трехточечную схему второго порядка точности, устойчивую при выполнении условия Куранта — Фридрихса — Леви.

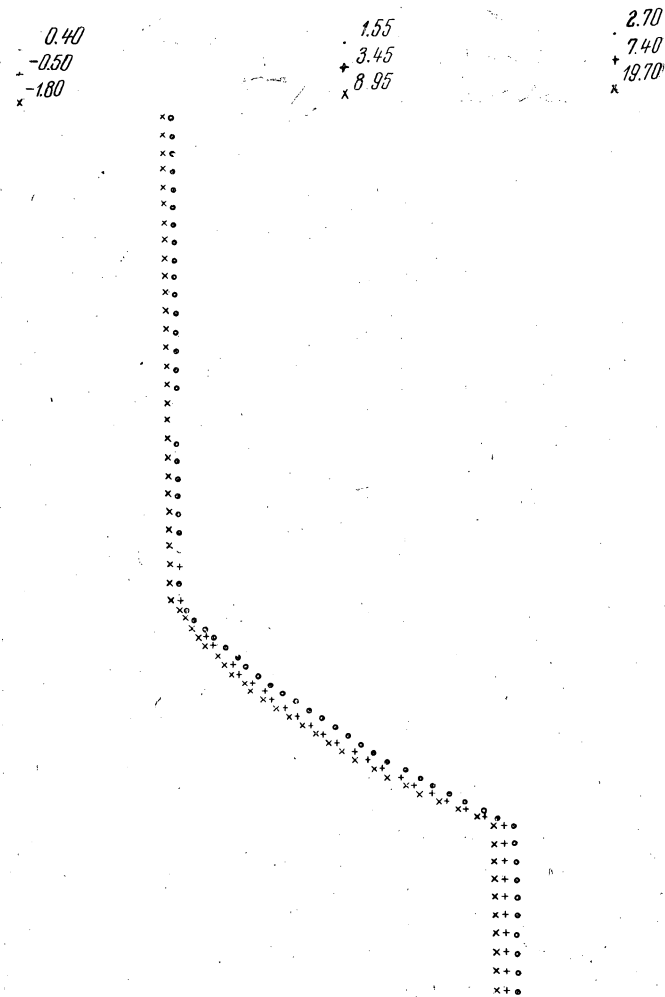
При $r = 3$ и $r = 4$ система уравнений для коэффициентов в (3) также

оказывается неопределенной. Из всех ее решений наибольшую практическую ценность имеют те, которым соответствуют компактные схемы с наименьшим числом слагаемых в правой части.

Выпишем в качестве примера формулы компактного варианта метода третьего порядка:

$$f_k^{[1]} = \mu f_k^{[0]} - \frac{\tau}{2h} \delta F_k^{[0]}, \quad f_{k+1/2}^{[2]} = f_{k+1/2}^{[0]} - \frac{\tau}{h} \delta F_{k+1/2}^{[1]}, \quad (11)$$

$$f_k^{[3]} = \frac{1}{4} \mu f_k^{[0]} + \left(\frac{3}{4} I - \frac{1}{8} \delta^2 \right) f_k^{[1]} - \frac{9}{8} \frac{\tau}{h} \delta F_k^{[2]}.$$

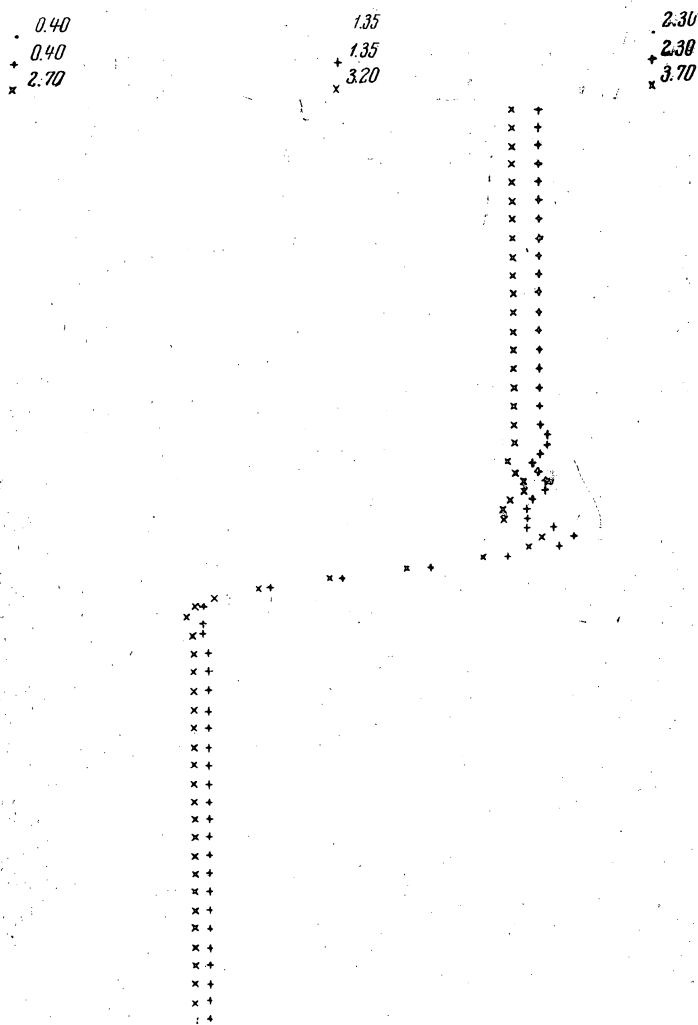


Фиг. 3. Волна разрежения, $n = 100$; сверху: $\cdot - 1.000$,
 $+ - 1.500$, $\times - 3.625$; снизу: $\cdot - 2.192$, $+ - 5.491$, $\times - 14.38$

Чтобы записать метод четвертого порядка, достаточно в уравнениях (11) изменить индексы на $1/2$ и присоединить уравнение для $f_k^{[4]}$:

$$f_k^{[4]} = f_k^{[2]} - \frac{32}{27} \frac{\tau}{h} \delta F_k^{[3]} + \frac{5}{27} \frac{\tau}{h} (\delta^3 + 3\delta) F_k^{[1]} - \frac{10}{27} \frac{\tau}{h} \mu \delta F_k^{[0]}. \quad (12)$$

Линеаризовав разностные уравнения и выразив путем последовательной подстановки f_k^{n+1} через $\{f_k^n\}$, получим единственную возможную схему r -го порядка на $r + 1$ точке. Устойчивость таких максимально точных ли-



Фиг. 4. Контактный разрыв, $n = 75$; сверху: · — 2.000, + — 2.000, \times — 3.500; снизу: · — 1.000, + — 1.000, \times — 3.000

нейных схем исследована в [4], где доказано, что в качестве условий устойчивости следует принять неравенства

$$|\lambda \Delta t / \Delta x| \leq 1, \text{ если } r \text{ четно}, \quad (13)$$

$$|\lambda \Delta t / \Delta x| \leq \frac{1}{2}, \text{ если } r \text{ нечетно}$$

(λ — наибольшая скорость распространения возмущений).

Условия (13) показывают, что область зависимости решения устойчивых разностных уравнений при $r > 2$ шире области зависимости решения дифференциальных уравнений, определяемой расположением характери-

стик. Именно, сеточная область зависимости ($r + 1$ узел) охватывает отрезок длины $r\Delta x$, в то время как характеристики вырезают из оси x всего лишь отрезок длины Δx при нечетном r и длины $2\Delta x$ при четном r . Таким образом, повышение точности вычислений требует привлечения информации о состоянии течения в областях, примыкающих к области «физической» зависимости решения.

На схемы (10) — (12) получены экспериментальные подтверждения. В качестве примера на фиг. 2—4 приведены профили, рассчитанные по схеме четвертого порядка (12) при максимально допустимом шаге по времени (точкой обозначена плотность, знаком + удельный вес, знаком \times удельная энергия).

Обращает на себя внимание хорошее качество решения с ударной волной и центрированной волной разрежения.

Поступила в редакцию 8.01.1970

Цитированная литература

1. В. В. Рустанов. Разностные схемы третьего порядка точности для сквозного счета разрывных решений. Докл. АН СССР, 1968, 180, № 6, 1303—1305.
2. P. D. Lax, B. Wendroff. Systems of conservation laws. Commun Pure and Appl. Math., 1960, 13, № 2, 217—235.
3. E. L. Rubin, S. Z. Burstein. Difference methods for the inviscid and viscous equations of a compressible gas. J. Comput. Phys., 1967, 2, 178—196.
4. G. Strang. Accurate partial difference methods. I. Linear Cauchy problems. Arch. Rat. Mech. and Analysis, 1963, 12, № 5, 392—402.